

I-160 補剛ケーブルを有する吊橋の弾性挙動

中央大学

正員 ○竹間 弥

東京都庁建設局

正員 西野 弥

はしがき

長径間吊橋の弾性挙動を改善する研究は、従来多くの研究者により試みられ、多くの良い成果が発表されている。それらの方法としては (1) センタースタイをもうける (2) タワースタイを併用する (3) ケーブルスタイをもうける (4) 斜吊り等の型式があり、またストームケーブルの効果についてとの成績が発表されている。

本研究は以上とは別に、一つの試みとして補剛ケーブルを有する吊橋(図-1)を提案した。この型式は、従来の吊橋に因るよう補剛げたにそつてケーブルを取り付け、外力に対し、主ケーブル、補剛ケーブル、補剛ケーブルとガーメントとなって抵抗する構造である。

補剛ケーブルには予め張力 H_0 を与えておく、この初期張力の大きさとたわみの関係から補剛ケーブルの有効性につき理論的に、実験的に検討した結果につき申し述べたい。

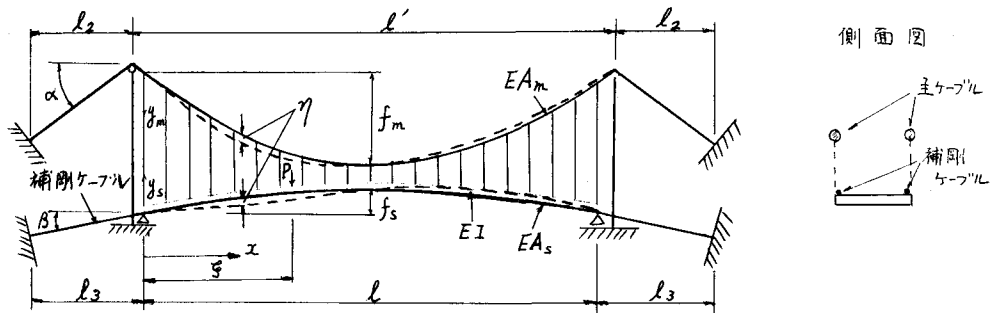


図-1

境界式の説明

図の如く、活荷重 P が載荷した場合、補剛桁の複み曲線の微分方程式は境界理論を用いて次のように示される。

$$EI \frac{d^4\eta}{dx^4} - \left\{ H_m + \left(1 + \frac{f_s}{f_m}\right) H_s + H_{np} - H_{sp} \right\} \frac{d^2\eta}{dx^2} = P - \frac{8f_m}{\ell^2} \left(H_{np} + \frac{f_s}{f_m} H_{sp} \right) \quad \dots \dots \dots (1)$$

$\therefore \eta =$

H_m : 死荷重による主ケーブルの水平張力

H_{np} : 活荷重による主ケーブルの水平張力

H_s : 補剛ケーブル初期張力

H_{sp} : 活荷重による補剛ケーブルの水平張力

(1)式を实用性をそこなわない範囲で線形化すると、

$$H_m + \left(1 + \frac{f_s}{f_m}\right) H_s + H_{np} - H_{sp} = H_r , \quad H_{np} + \frac{f_s}{f_m} H_{sp} = H_p$$

とおくことにより

$$EI \frac{d^2\gamma}{dx^4} - H_r \frac{d^2\gamma}{dx^2} = P - \frac{8f_m}{\ell^2} H_p \quad \dots \dots \quad (2)$$

(2) 式を解くと

$$\begin{aligned} \gamma(x, \xi) &= P \cdot \frac{\ell}{H_r} \left\{ \frac{x}{\ell} \left(1 - \frac{\xi}{\ell}\right) - \frac{\sinh cx \cdot \sinh c(\ell-\xi)}{cl \cdot \sinh cl} \right\} - H_p \frac{8f_m}{H_r} \left\{ \frac{1}{2} \frac{x}{\ell} \left(1 - \frac{\xi}{\ell}\right) \right. \\ &\quad \left. - \frac{1}{c^2 \ell^2} \left(1 - \frac{\cosh c(\frac{\ell}{2}-x)}{\cosh(c\ell/2)}\right) \right\} & x \leq \xi \\ \gamma(x, \xi) &= P \frac{\ell}{H_r} \left\{ \frac{\xi}{\ell} \left(1 - \frac{x}{\ell}\right) - \frac{\sinh cx \cdot \sinh c(\ell-x)}{cl \cdot \sinh cl} \right\} - H_p \frac{8f_m}{H_r} \left\{ \frac{1}{2} \frac{x}{\ell} \left(1 - \frac{\xi}{\ell}\right) \right. \\ &\quad \left. - \frac{1}{c^2 \ell^2} \left(1 - \frac{\cosh c(\frac{\ell}{2}-x)}{\cosh(c\ell/2)}\right) \right\} & x \geq \xi \end{aligned} \quad \dots \dots \quad (3)$$

たゞし

$$cl = \ell \sqrt{\frac{H_p}{EI}}$$

(3) 式により任意の点に荷重 P がかかるときの傾き γ を求めることが出来た。

活荷重によるケーブルの水平張力 H_{np} , H_{sp}

温度変化を無視し、ケーブル方程式は

主ケーブルに対する

$$H_{np} \frac{L_m}{EA_m} + \frac{d^2\gamma_m}{dx^2} \int_0^\ell \gamma dx = 0 \quad \tau = \text{定数} \quad L_m \doteq \ell' \left(1 + 8 \frac{f_s^2}{\ell^2}\right) + 2 l_2 \sec^3 \alpha$$

補剛ケーブルに対する

$$H_{sp} \frac{L_s}{EA_s} + \frac{d^2\gamma_s}{dx^2} \int_0^\ell \gamma dx = 0 \quad L_s \doteq \ell \left(1 + 8 \frac{f_s^2}{\ell^2}\right) + 2 l_3 \sec^3 \beta$$

これより式 (3) 式を代入すると

$$\begin{aligned} H_{np} &= \left(\frac{\ell}{f_m} \right) \frac{T - H_p \left\{ \frac{2}{3} \cdot \frac{f_m}{\ell} - \frac{8f_m}{\ell} \frac{1}{c^2 \ell^2} \left(1 - \frac{\tanh(c\ell/2)}{c\ell/2}\right) \right\}}{\frac{2}{3} - \frac{8}{c^2 \ell^2} \left(1 - \frac{\tanh(c\ell/2)}{c\ell/2}\right) + \frac{L_m}{EA_m} \frac{c^2 EI}{8f_m} \cdot \frac{\ell}{f_m}} \\ H_{sp} &= \left(\frac{\ell}{f_s} \right) \frac{T - H_{np} \left\{ \frac{2}{3} \cdot \frac{f_m}{\ell} - \frac{8f_m}{\ell} \frac{1}{c^2 \ell^2} \left(1 - \frac{\tanh(c\ell/2)}{c\ell/2}\right) \right\}}{\frac{2}{3} - \frac{8}{c^2 \ell^2} \left(1 - \frac{\tanh(c\ell/2)}{c\ell/2}\right) + \frac{L_s}{EA_s} \frac{c^2 EI}{8f_s} \cdot \frac{\ell}{f_s}} \end{aligned} \quad \dots \dots \quad (4)$$

$c > 1$:

$$T = P \left\{ \frac{1}{2} \cdot \frac{\xi}{\ell} \left(1 - \frac{\xi}{\ell}\right) - \frac{1}{c^2 \ell^2} \left(1 - \frac{\cosh c(\frac{\ell}{2}-\xi)}{\cosh(c\ell/2)}\right) \right\}$$

以上の理論値と実験結果との検討については当日御報告申し上げます。